

# FSH 通过 AKT/FOXO1 通路调控绵羊卵泡颗粒细胞增殖的研究

刘春洁 王兆琛 杜炜 赵勇超 张家新\*

(内蒙古农业大学 动物科学学院/内蒙古自治区动物遗传育种与繁殖重点实验室,呼和浩特 010018)

**摘要** 旨在研究 FSH-AKT-FOXO1 途径调控绵羊卵泡颗粒细胞增殖机制。利用不同浓度 FSH 处理绵羊颗粒细胞(GCs),采用 CCK-8 法检测细胞活性,流式细胞仪测定细胞凋亡和细胞周期变化,Western-Blot 检测 p-AKT 和 p-FOXO1 蛋白质表达,qPCR 分析 *PCNA*、*CCnd-2* 和 *Bcl-2* 基因表达量变化。结果表明:10 ng/mL 的 FSH 能显著提高 GCs 活性,抑制细胞凋亡( $P < 0.05$ );AKT/FOXO 信号通路的抑制剂 AT7867 预处理 GCs 后明显降低其活性( $P < 0.05$ );在 FSH 的作用下,GCs 中 AKT 蛋白的磷酸化水平显著升高,而 FOXO1 的磷酸化水平显著降低( $P < 0.05$ ),同时显著上调了 *PCNA*、*CCnd-2* 和 *Bcl-2* 的表达水平( $P < 0.05$ )。本研究表明 FSH 通过 AKT/FOXO1 信号途径促进了绵羊 GCs 的生长、增殖。

**关键词** 绵羊;颗粒细胞;FSH;AKT/FOXO1 信号途径;绵羊

中图分类号 S826.2

文章编号 1007-4333(2019)03-0045-07

文献标志码 A

## Follicle-stimulating hormone regulating the proliferation of ovine follicular granulosa cells through AKT/FOXO1 pathway

LIU Chunjie, WANG Zhaochen, DU Wei, ZHAO Yongchao, ZHANG Jiaxin\*

(College of Animal Science/Key Laboratory of Animal Genetics, Breeding and Reproduction of Inner Mongolia Autonomous Region, Inner Mongolia Agricultural University, Hohhot 010018, China)

**Abstract** The purpose of this study was to investigate the proliferation of ovine follicular granulosa cells (GCs) regulated by FSH-AKT-FOXO1 pathway. After GCs were treated with difference concentrations FSH, the cells' viability were measured by CCK-8 assays. The apoptosis and cell cycle were assayed by Flowcytometry. The phosphorylation level of AKT and FOXO1 protein were detected by Western-Blot. The transcriptional profile of *PCNA*, *CCnd-2* and *Bcl-2* were detected by qRT-PCR. The results showed that: adding 10 ng/mL FSH in the culture medium significantly increased the viability of cells and inhibited apoptosis ( $P < 0.05$ ). The viability of GCs decreased significantly after pre-treatment with the inhibitor AT7867 of AKT/FOXO1 signal pathway ( $P < 0.05$ ). FSH significantly promoted AKT phosphorylation and decreased FOXO1 phosphorylation, FSH significantly up-regulated the expressions of *CCnd-2*, *PCNA* and *Bcl-2* mRNA. In conclusion, FSH promoted the growth and proliferation of ovine follicular granulosa cells through AKT/FOXO1 pathway.

**Keywords** ovine; granulosa cell; FSH; AKT/FOXO1 signal pathway

哺乳动物卵泡发育过程中,超过 99% 的卵泡会发生闭锁,卵泡闭锁是卵巢卵泡发育、成熟、排卵过程中重要的生理过程。如果这一过程不能正常进行,往往会导致雌性动物多囊卵巢综合征和卵巢早

衰,甚至不孕不育<sup>[1-2]</sup>。已有研究表明卵泡闭锁与 GCs 凋亡密切相关,主要体现 DNA 碎片化和促凋亡基因表达显著上调<sup>[3]</sup>。卵泡发育是一个相对复杂的过程,主要受促性腺激素的调控<sup>[2,4]</sup>。其中促卵

收稿日期:2019-09-28

基金项目:国家自然科学基金项目(31460598)

第一作者:刘春洁,博士研究生,E-mail:guilt369@163.com

通讯作者:张家新,教授,主要从事动物繁殖技术与胚胎工程研究,E-mail:zjxcu@163.com

泡素(FSH)作为卵泡生长、发育和优势卵泡选择的一种重要的促性腺激素,同时还具有促进GCs增殖分化的功能<sup>[5-7]</sup>。这一过程是通过激活GCs的多个信号级联引起FSH生理机制应答,包括蛋白激酶A(PKA),蛋白激酶B(PKB/AKT),p38丝裂原活化蛋白激酶(p38-MAPK)和细胞外信号调节激酶1和2(ERK1/2)<sup>[8]</sup>。

在小鼠细胞研究中发现,通过减缓FOXO1转录抑制可以影响细胞中细胞周期蛋白(*Ccnd-2*)的表达<sup>[9]</sup>。研究发现敲除小鼠*Ccnd-2*基因后,细胞增殖被阻滞<sup>[9]</sup>。FOXO1的转录抑制也可以影响细胞核抗原(PCNA)基因的表达,PCNA是一种与增殖相关蛋白DNA合成有关的基因,起初表达于初级卵泡的GCs,在FSH作用下其表达量增加<sup>[10-11]</sup>。*Bcl-2*作为抗细胞凋亡家族蛋白,定位于线粒体膜,参与GCs的凋亡,其作用机制同样受到FOXO1转录调控<sup>[12]</sup>。FOXO1基因具有调节细胞凋亡,细胞周期停滞,细胞稳态等功能<sup>[9]</sup>。由于FOXO1结合DNA,抑制或激活靶基因特异性转录<sup>[13]</sup>。而FOXO1结合DNA能力主要受AKT磷酸化作用,当未发生磷酸化时,FOXO1定位于细胞核,通过与其靶基因结合到FOXO1识别元件(FRE)上,发挥生物学活性<sup>[13-14]</sup>。

FOXO1是FSH信号通路的靶分子,受FSH的负调控。FSH通过PKB/AKT通路引起FOXO1的磷酸化失活,从而失去对靶基因的转录调节作用<sup>[15]</sup>。因此,FSH维持卵泡生长发育的功能可能与FSH对FOXO1的抑制有关。其在GCs上发挥的潜在机制仍有待进一步探究。关于FSH通过AKT/FOXO1通路调控卵泡颗粒细胞增殖的研究大多数是针对小鼠等试验动物,在家畜上研究较少,因此,本试验拟用绵羊卵巢GCs,对绵羊GCs用不同浓度FSH处理后,利用CCK-8法检测细胞活性,AnnexinV-FITC测定细胞凋亡和细胞周期变化,Western-Blot检测p-AKT和p-FOXO1蛋白质表达;qPCR分析PCNA、*CCnd-2*和*Bcl-2*基因表达量变化,以期探究FSH通过AKT/FOXO1信号通路对绵羊GCs的调节作用,为提高母畜繁殖性能提供理论基础。

## 1 材料与方法

### 1.1 试验材料

本地屠宰场获得绵羊(24~36月龄,体重平均

83 kg)卵巢,去掉系膜等残余组织,使用37℃生理盐水洗涤3次,置含有预热37℃生理盐水保温杯内,并于2~3 h内送至实验室,然后再预热37℃,添加青链霉素合剂的生理盐水洗涤卵巢3遍,将卵巢放于预热的灭菌生理盐水,置37℃水浴锅,待用。

### 1.2 试验试剂

促卵泡激素FSH(Bioniche,加拿大);DMEM/F12培养基(Gibco,美国);胎牛血清(HyClone,美国);电转液购自(Biosharp,中国);0.45 μm PVDF膜(Millipore,美国);AKT磷酸化抗体、FOXO1磷酸化抗体、β-actin抗体、AKT抑制剂AT7867(MCE,美国);HRP标记山羊抗兔IgG、HRP标记山羊抗鼠IgG、蛋白Marker、ECL底物液、Revert Aid First Strand cDNA Synthesis Kit(Thermo Scientific,美国);Annexin-FITC/PI(Vazyme,美国);CCK-8(Beyotime Biotechnology,中国)。

### 1.3 试验方法

#### 1.3.1 GCs收集

在超净台内用眼科剪将卵巢上的卵泡小心分离,用PBS尽可能将卵泡周围的组织清洗干净。收集直径4~6 mm大小卵泡。在盛有PBS的凹形皿内,用眼科剪将卵泡轻轻剪开,用刮刀沿卵泡内壁适度刮取细胞,置于含青霉素链霉素的PBS液中,并清洗3次,然后用添加0.3%牛血清白蛋白,3%胎牛血清,1%青链霉素合剂的DMEM/F12培养基重悬细胞,PI染色计数,调整细胞密度为 $5 \times 10^5$ 个/mL,转移到1.5 mL的离心管内,1400 r/min离心5 min后弃上清,立即将细胞投入液氮,后放入-80℃冰箱保存,用于后续RNA提取。

#### 1.3.2 不同浓度FSH和抑制剂AT7867对GCs增殖影响

将分离纯化的绵羊颗粒细胞按相同浓度接种至96孔培养板中,每孔细胞进行随机分组进行后续试验。试验一将分组的每孔细胞分别添加0、5、10和20 ng/mL FSH。培养24 h后,采用CCK-8法对不同时间检测细胞活性。观察FSH对绵羊卵巢GCs活性的影响。每组数据重复3次以上。试验二将分组的每孔细胞分别添加0、5、10、20和40 μmol/L抑制剂AT7867,试验方法同试验一。观察抑制剂AT7867对卵巢GCs培养的影响。每组试验各重复3次以上。

#### 1.3.3 GCs周期检测

培养24 h获得细胞,用不含EDTA的胰蛋白

酶室温消化 15~20 min, 消化后经 PBS 清洗 2~3 次, 1 400 r/min, 离心 5 min 后, 收集细胞沉淀后用 70% 预冷乙醇固定 24 h 左右。然后收集不同处理后固定的细胞样本, 经 PBS 洗涤 2~3 次后, 根据细胞周期试剂盒测定不同处理样本, 每个样本添加 100  $\mu$ L Rnase 酶吹打均匀后, 37  $^{\circ}$ C 处理 30 min, 然后各孔添加 400  $\mu$ L PI 染液, 4  $^{\circ}$ C 避光孵育 30 min, 使用流式仪细胞检测细胞周期。

1.3.4 GCs 凋亡检测

将待检测细胞从培养箱取出, 然后用预冷 PBS 清洗细胞 2~3 次; 各孔加 500  $\mu$ L 不含 EDTA 的胰蛋白酶, 室温消化, 待细胞完全脱落, 用移液枪轻轻吹打使细胞分散; 将所吸出 EP 管中培养液加到对应各孔细胞内, 终止胰蛋白酶消化; 然后将细胞悬液转入 5 mL EP 管内, 1 400 r/min, 离心 5 min, 弃上清, 用 1 mL PBS 轻轻吹起沉淀细胞, 洗涤 2~3 次, 1 400 r/min, 离心 5 min 后弃上清; 按照细胞凋亡检测试剂盒说明书, 每个样本加入 500  $\mu$ L 结合缓冲液重悬细胞, 然后加入 5  $\mu$ L AnnexinV-FITC 和 5  $\mu$ L PI, 轻轻混匀, 室温避光(锡箔纸)孵育 10~30 min,

流式细胞仪检测细胞凋亡。

1.3.5 qPCR 检测 GCs 中基因表达

采用 TRNzol 法提取组织样品总 RNA, 使用 NanoDropTMND-2000 测定 RNA 浓度和纯度。要求 A260/280 介于 1.8~2.1, 28S:18S  $\geq$  1.8 : 1.0, 浓度  $\geq$  200 ng/ $\mu$ L。采用 qRT-PCR 技术定量分析 PCNA、Ccnd-2 和 Bcl-2 基因在不同培养条件下获得颗粒细胞中的表达水平。采用 Oligo 6.0 软件设计 qPCR 并合成引物(表 1)。分别采用 Prime ScriptTMRT 试剂盒和 SYBY Premix Ex Taq TM 试剂盒(TaKaRa, 日本)进行 cDNA 逆转录和 qPCR 反应, 所有操作严格按照试剂盒说明书于 IQ-5 荧光定量 PCR 仪(Bio-Rad, 美国)上进行。qPCR 反应体系为 25  $\mu$ L, 包括 12.5  $\mu$ L SYBR Premix Ex Taq TM(2a)、1  $\mu$ L 上游引物、1  $\mu$ L 下游引物、2.0  $\mu$ L cDNA 模板和 8.5  $\mu$ L ddH<sub>2</sub>O。反应程序: 预变性 95  $^{\circ}$ C 5 min; 变性 95  $^{\circ}$ C 5 s, 退火 60  $^{\circ}$ C 20 s, 延伸 72  $^{\circ}$ C 15 s, 45 个循环, 延伸阶段收集荧光信号, 70~95  $^{\circ}$ C 绘制溶解曲线。采用  $\beta$ actin 作为内参基因, 每组数据重复 3 次以上。

表 1 qPCR 引物  
Table 1 Primers of qPCR

基因名 Gene name (GenBank ID)	序列(5'→3') Sequence (5'→3')	大小/bp Size
Sheep PCNA(XM_004014340.4)	Forward: TCTCATGTCTCCTTGGTGCA Reverse: GCCAAGGTGTCCGCATTATC	173
Sheep Ccnd-2(100147799)	Forward: GACATTCAGCCCTACATGCG Reverse: AATGCACAACCTTCTCAGCGG	228
Sheep Bcl-2(AF164517.1)	Forward: TCTTTGAGTTCGGAGGGGTC Reverse: GGCCATACAGCTCCACAAAG	162
Sheep $\beta$ actin(内参)(U39357.2)	Forward: CTGGACTTCGAGCAGGAGAT Reverse: TAGTTTCGTGAATGCCGCAG	172

1.3.6 Western blotting 法检测蛋白表达

准备进行 SDS-PAGE 的 5% 浓缩胶和 12% 分离胶。样品经缓冲液变性处理, 上样, 每孔 20  $\mu$ g。湿转膜法完成后经染色剂对膜进行染色并鉴定转膜效果。将转膜良好的膜完全浸没 5% 脱脂奶粉-TBST 液中, 室温轻摇封闭 30 min, 后用 5% 脱脂奶粉-TBST 按 1 : 1 000 稀释 p-AKT 和 p-FOXO1 抗体, 室温震荡 10 min, 充分混匀抗体, 置摇床震荡过

夜。第 2 天使用 TBST 洗膜 5 次, 每次 5 min, 用 5% 脱脂奶粉-TBST 按 1 : 1 000 稀释二抗 IgG, 室温轻摇 40 min, TBST 洗膜 6 次, 每次 5 min, ECL 孵育, 最后化学发光成像仪成像。

1.3.7 数据分析

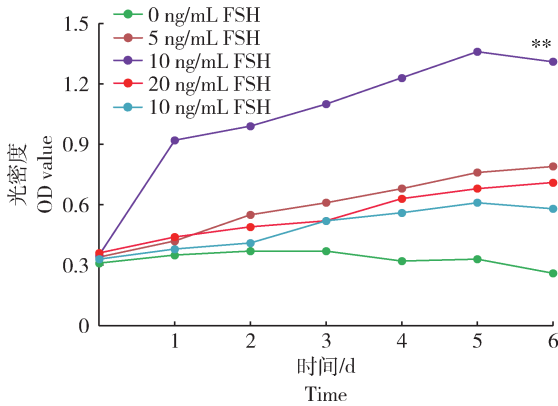
采用  $2^{-\Delta\Delta CT}$  公式计算 qRT-PCR 结果, 利用 SPASS 统计软件 T-test 进行差异显著性检验, 数据以平均值  $\pm$  标准差 (Mean  $\pm$  SEM) 表示。每组试验

数据重复至少3次。

## 2 结果与分析

### 2.1 FSH对GCs活性影响

在绵羊GCs培养基中添加浓度分别为0、5、10、20和40 ng/mL的FSH进行培养。每间隔1 d记录GCs增殖情况,接种当天记录0 d,及接种后1~6 d,结果见图1。10 ng/mL FSH培养GCs活性极显著高于其他处理组( $P < 0.01$ )。进一步证明FSH能显著提高GCs的增殖能力。



\*\*表示差异极显著  $P < 0.01$ 。

\*\* indicates extremely significant difference ( $P < 0.01$ ).

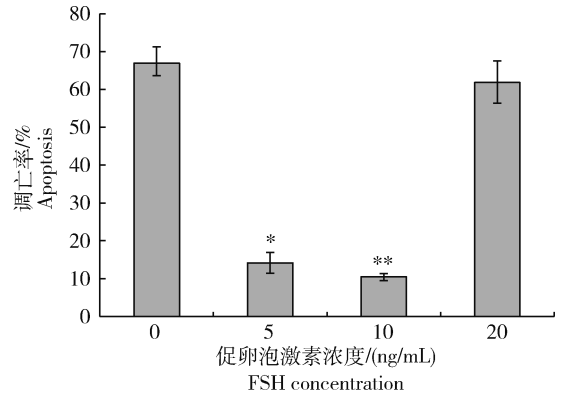
图1 不同浓度促卵泡素对外颗粒细胞活性影响

Fig. 1 Effect of different concentrations of FSH on the GCs viability *in vitro*

### 2.2 FSH对GCs凋亡影响

将GCs接种6孔板培养24 h后,利用Annexin V-FITC/PI荧光染色。采用流式细胞仪检测细胞凋亡情况,结果见图2:在10 ng/mL FSH培养下,

GCs凋亡率极显著低于其他浓度FSH培养的GCs ( $P < 0.01$ )。这一结果说明10 ng/mL FSH对绵羊GCs增殖有明显地促进作用,同时能显著抑制绵羊GCs凋亡。



\*表示差异显著  $P < 0.05$ ; \*\*表示差异极显著  $P < 0.01$ 。

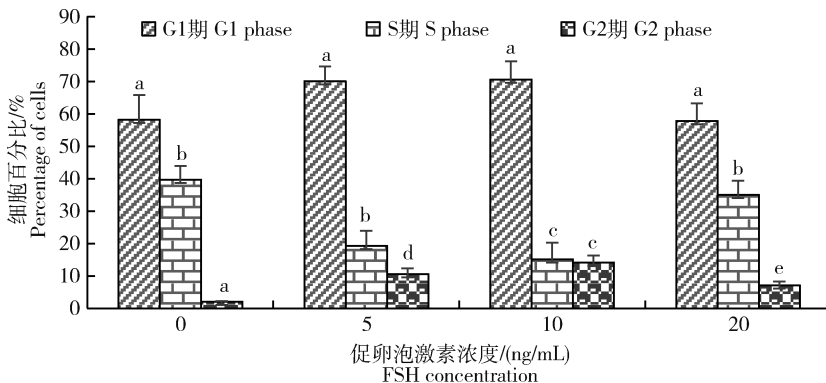
\* indicates significant difference ( $P < 0.05$ ). \*\* indicates extremely significant difference ( $P < 0.01$ ).

图2 不同浓度促卵泡素对外颗粒细胞凋亡影响

Fig. 2 Effect of different concentrations FSH on the apoptosis of the GCs *in vitro*

### 2.3 FSH对GCs周期的影响

分别将不同浓度FSH添加培养基中培养GCs 24 h后,使用PI染色检测细胞周期。由图3可见:添加10 ng/mL FSH后,细胞从G1期到S期过渡时期,细胞增殖数量出现显著提高( $P < 0.05$ )。由于GCs增殖速度和数量发生变化主要发生于细胞周期G1到S阶段过渡中。这一过程主要受巢内分泌因子与调节因子之间的相互作用,用以调节卵泡颗粒细胞增殖和分化。



不同字母表示差异显著  $P < 0.05$ 。

Different letters indicate significant differences between groups ( $P < 0.05$ ).

图3 不同浓度促卵泡素对外绵羊颗粒细胞周期影响

Fig. 3 Effect of different concentrations FSH on the GCs cell cycle *in vitro*

### 2.4 抑制剂 AT7867 对 GCs 活性影响

使用 AKT/FOXO1 通路的抑制剂 AT7867 预处理 GCs, 根据抑制剂的不同浓度(0、5、10、20 和 40  $\mu\text{mol/L}$ )和不同时间(0、4、8、12、16、18、24、26 和 28 h)测定 GCs 活性。结果表明 10  $\mu\text{mol/L}$  AT7867 抑制剂孵育 24 h, GCs 活性极显著低于其他处理组( $P < 0.01$ ) (图 4)。抑制剂 AT7867 可阻断 AKT 发生磷酸化, 进一步影响 AKT 信号通路下游靶基因 FOXO1 的转录水平, 最终阻滞 GCs 增殖分化功能。

### 2.5 FSH 通过 AKT/FOXO1 信号通路上调 PCNA、Ccmd-2 和 Bcl-2

组 1 是 GCs 仅用培养基 DMEM/F 12 为对照组, 组 2 为添加 10 ng/mL FSH, 组别 3 为添加 10  $\mu\text{mol/L}$  AT7867 抑制剂, 组别 4 是同时 10 ng/mL FSH 和 10  $\mu\text{mol/L}$  AT7867 抑制剂, 孵育 24 h 后,

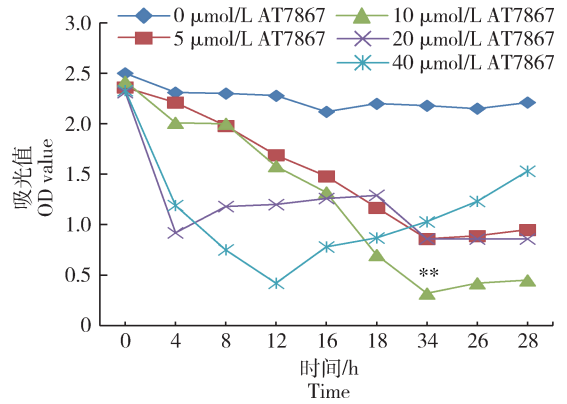
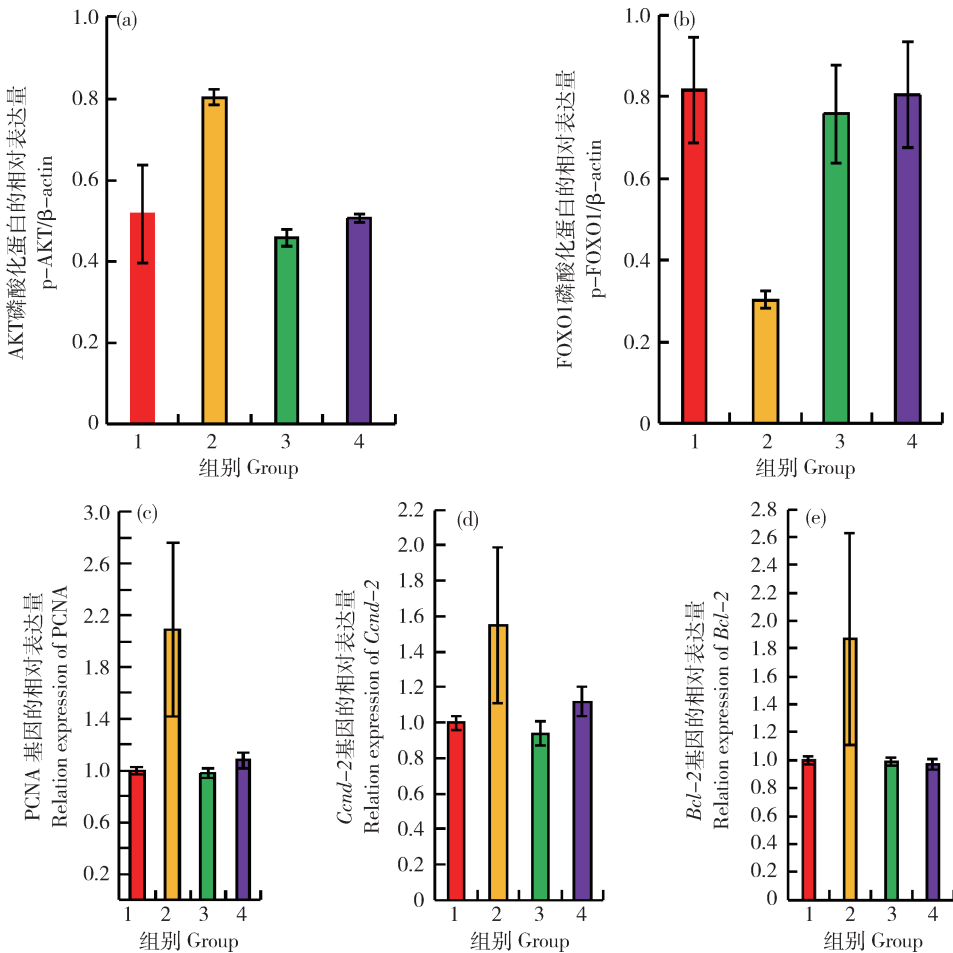


图 4 不同浓度抑制剂 AT7867 对体外颗粒细胞活性影响  
Fig. 4 Effect of different concentrations inhibitor AT7867 on the GCs viability *in vitro*

通过 Wester-Blot 检测, 如图 5(a)~(b)所示, 与其他处理组相比, 10 ng/mL FSH(4(a2))显著提高 p-AKT(S473)蛋白的表达, 降低 p-FOXO1 蛋白水



1: 对照组; 2: 促卵泡素; 3 抑制剂 AT7867; 4: 促卵泡素加抑制剂. \*\* 表示差异极显著  $P < 0.01$ 。

1: Control; 2: FSH; 3: Inhibitor AT7867; 4: FSH+AT7867. \*\* indicates extremely significant difference ( $P < 0.01$ ).

图 5 FSH 通过 AKT/FOXO1 通路上调靶基因

Fig. 5 FSH up-regulate targeted genes by AKT/FOXO1 pathway

平(4(b2)),同时上调绵羊 GCs 中 *PCNA*、*Ccnd-2* 和 *Bcl-2* 基因。如图 5(c)~(e)。*PCNA*、*Ccnd-2* 和 *Bcl-2* 是通过 AKT/FOXO1 信号通路参与细胞增殖,抑制细胞发生凋亡的生物学过程。

### 3 讨论与结论

哺乳动物卵巢卵泡的发育主要受垂体分泌的促性腺素调控。其中 FSH 是卵泡发育过程中形成优势卵泡的主导激素<sup>[16]</sup>。FSH 通过靶器官细胞膜上的特异性受体 FSHR 介导,影响卵泡发育的成熟和卵泡数量。FSHR 主要表达卵巢卵泡 GCs,其表达水平与 GCs 存活、卵泡闭锁和卵母细胞成熟密切相关<sup>[17]</sup>。本试验通过添加不同浓度 FSH 对绵羊 GCs 进行 24 h 培养后,检测其细胞活性和凋亡,发现 10 ng/mL FSH 对绵羊 GCs 增殖有明显的促进作用,同时能显著减少绵羊 GCs 凋亡(图 1 和图 2)。已有研究表明卵泡发育和闭锁调节是一个复杂的过程,涉及内分泌因子与卵巢调节因子之间的相互作用,从而控制卵泡细胞的命运(细胞增殖、分化和细胞程序性死亡)<sup>[18]</sup>。本试验中添加 10 ng/mL FSH 处理 24 h 后,检测到细胞从 G1 期到 S 期,发现细胞增殖数量出现显著提高。这与已有研究报道 GCs 增殖速度和数量发生变化主要发生于细胞周期 G1 到 S 阶段过渡中的结果一致<sup>[19-20]</sup>。

已有研究表明 FSH 下游的转录因子 *PCNA*、*Ccnd-2* 和 *Bcl-2* 的特异性表达水平,主要受 FOXO1 调控<sup>[15-18]</sup>;而 FOXO1 主要受 AKT 磷酸化调控,由 PI3K 途径激活,调节细胞周期、代谢或存活<sup>[21-22]</sup>。其中:*PCNA* 是真核细胞 DNA 合成时所必需的一种细胞核蛋白,在细胞核内合成,并储存核内。*PCNA* 在细胞分裂期出现,其表达量的变化与 DNA 合成一致,与多种细胞周期调节因子和细胞增殖密切相关<sup>[16]</sup>。而 *Ccnd-2* 是参与调控细胞周期中 G1 期向 S 期过渡的重要蛋白<sup>[17]</sup>。*Bcl-2* 作为 G1/S 期过渡阶段的重要的调控蛋白,一方面能够促进细胞增殖,抑制细胞发生凋亡;另一方面可以调节细胞氧化还原状态(非蛋白巯基、谷胱甘肽),增强细胞抗氧化能力,减轻由氧化应激引起的细胞早期凋亡<sup>[23]</sup>。

在大鼠 GCs 的试验中证实,抑制 FOXO1 磷酸化水平,能增强细胞中 *PCNA* 和 *Ccnd-2* 基因的特异性表达水平,进而阻滞细胞发生凋亡<sup>[15]</sup>。进一步在大鼠肾小球系膜细胞的研究发现,FOXO1 过表

达会促使抗凋亡因子 *Bcl-2* 下调,导致细胞周期停滞,降低细胞增殖能力<sup>[24]</sup>。阻断 AKT 下游的 FOXO1 蛋白质的磷酸化水平,则导致下游靶基因的功能发生改变<sup>[25]</sup>

本研究结果表明:10 ng/mLFSH 处理能显著升高 GCs 中 p-AKT 蛋白水平和显著降低 p-FOXO1 的表达量,显著上调 *PCNA*、*CCnd-2* 和 *Bcl-2* 的转录水平;并能显著增强绵羊 GCs 活性和显著减少绵羊 GCs 凋亡。FSH 通过 AKT/FOXO1 信号通路调控靶基因 *PCNA*、*CCnd-2* 和 *Bcl-2* 转录水平,本研究可为进一步探明绵羊 GCs 功能的分子机制研究奠定基础。

### 参考文献 References

- [1] Manabe N, Goto Y, Matsuda-Minehata F, Inoue N, Sakamaki K, Miyano T. Regulation mechanism of selective atresia in porcine follicles: Regulation of granulosa cell apoptosis during atresia [J]. *Journal of Reproduction and Development*, 2004, 50(5): 493-514
- [2] 乔竟谊,徐轲,孙青原. 卵泡发生与发育的调控[J]. 实用妇产科杂志, 2019, 35(5): 321-323  
Qiao Y Y, Xu K, Sun Q Y. Regulation of follicular development and development [J]. *Journal of Applied Obstetrics and Gynecology*, 2019, 35 (5): 321-323 (in Chinese)
- [3] Shen M, Lin F, Zhang J, Tang Y, Chen W K, Liu H. Involvement of the up-regulated *FoxO1* expression in follicular granulosa cell apoptosis induced by oxidative stress [J]. *Journal of Biological Chemistry*, 2012, 287(31): 25727-25740
- [4] Kreeger P K, Fernandes N N, Woodruff T K, Shea L D. Regulation of mouse follicle development by follicle-stimulating hormone in a three-dimensional *in vitro* culture system is dependent on follicle stage and dose [J]. *Biology of Reproduction*, 2005, 73(5): 942-950
- [5] 汪立芹,何宗霖,林嘉鹏,吴阳升,黄俊成,萨福克羔羊卵泡诱导发育效果的研究[J]. 中国农业大学学报, 2015, 20(4): 141-146  
Wang L Q, He Z L, Lin J P, Wu Y S, Huang J C. Study on follicle-induced development effect of Suffolk lamb [J]. *Journal of China Agricultural University*, 2015, 20(4): 141-146 (in Chinese)
- [6] 李洁云. 热应激对小鼠卵巢卵泡闭锁和颗粒细胞凋亡的影响及其机理研究[D]. 北京: 中国农业大学, 2016  
Li J Y. The mechanism of heat stress on follicular atresia and granulosa cell apoptosis in mouse ovary [D]. Beijing: China Agricultural University, 2016 (in Chinese)

- [7] Bancsi L F, Broekmans F J, Mol B W, Habbema J D, TeVelde E R. Performance of basal follicle-stimulating hormone in the prediction of poor ovarian response and failure to become pregnant after *in vitro* fertilization: A meta-analysis [J]. *Fertility and Sterility*, 2003, 79(5): 1091-1100
- [8] Kaminski S L. Impact of environmental factors on ovarian function and endocrine activity in livestock[D]. Fargo: North Dakota State University, 2013
- [9] Hunzicker-Dunn M, Maizels E T. FSH signaling pathways in immature granulosa cells that regulate target gene expression; Branching out from protein kinase A[J]. *Cell Signal*, 2006, 18(9): 1351-1359
- [10] Perez-Roger I, Kim S H, Griffiths B, Sewing A, Land H. Cyclins D1 and D2 mediate Myc-induced proliferation via sequestration of p27Kip1 and p21Cip1 [J]. *EMBO Journal*, 1999, 18(19): 5310-5320
- [11] El-Hefnawy T, Zeleznik A J. Synergism between FSH and activin in the regulation of proliferating cell nuclear antigen (PCNA) and cyclin D2 expression in rat granulosa cells[J]. *Endocrinology*, 2001, 142(10): 4357-4362
- [12] Chowdhury I, Thompson W E, Welch C, Thomas K, Matthews R. Prohibitin (PHB) inhibits apoptosis in rat granulosa cells (GCs) through the extracellular signal-regulated kinase 1/2 (ERK1/2) and the Bcl family of proteins [J]. *Apoptosis*, 2013, 18(12): 1513-1525
- [13] Sanchez A M, Candau R B, Bernardi H. FoxO transcription factors: their roles in the maintenance of skeletal muscle homeostasis[J]. *Cellular and Molecular Life Science*, 2014, 71(9): 1657-1671
- [14] Vanhaesebroeck B, Guillermet-Guibert J, Graupera M, Bilanges B. The emerging mechanisms of isoform-specific PI3K signalling[J]. *Nature Reviews Molecular Cell Biology*, 2010, 11(5): 329-341
- [15] Park Y, Maizels E T, Feiger Z J, Alam H, Peters C A, Woodruff T K, Unterman T G, Lee E J, Jameson J L, Hunzicker-Dunn M. Induction of cyclin D2 in rat granulosa cells requires FSH-dependent relief from FOXO1 repression coupled with positive signals from Smad [J]. *Journal of Biological Chemistry*, 2005, 280(10): 9135-9148
- [16] Tse A C, Ge W. Spatial localization of EGF family ligands and receptors in the zebrafish ovarian follicle and their the expression profiles during folliculogenesis [J]. *General and Comparative Endocrinology*, 2010, 167(3): 397-407
- [17] Regan S L, McFarlane J R, O'Shea T, Andronicos N, Arfuso F, Dharmarajan A, Almabobi G. Flow cytometric analysis of FSHR, BMRRIB, LHR and apoptosis in granulosa cells and ovulation rate in Merino sheep[J]. *Reproduction*, 2015, 150(2): 151-163
- [18] Asselin E, Xiao C W, Wang Y F, Tsang B K. Mammalian follicular development and atresia: Role of apoptosis [J]. *Biological Signals and Receptors*, 2000, 9(2): 87-95
- [19] Golubev A. Transition probability in cell proliferation, stochasticity in cell differentiation, and the restriction point of the cell cycle in one package[J]. *Progress in Biophysics and Molecular Biology*, 2012, 110(1): 87-96
- [20] Huang Y, Wu G, Fan H, Ye J, Liu X. Electroacupuncture promotes chondrocyte proliferation via accelerated G1/S transition in the cell cycle [J]. *International Journal of Molecular Medicine*, 2013, 31(6): 1443-1448
- [21] Herndon M K, Law N C, Donaubaue E M, Kyriss B, Hunzicker-Dunn M. Forkhead box O member FOXO1 regulates the majority of follicle-stimulating hormone responsive genes in ovarian granulosa cells[J]. *Molecular and Cellular Endocrinology*, 2016(434): 116-126
- [22] Vanhaesebroeck B, Guillermet-Guibert J, Graupera M, Bilanges B. The emerging mechanisms of isoform-specific PI3K signalling[J]. *Nature Reviews Molecular Cell Biology*, 2010, 11(5): 329-341.
- [23] Hsu S P, Lin P H, Chou C M, Lee W S. Progesterone up-regulates p27 through an increased binding of the progesterone receptor-A-p53 protein complex onto the non-canonical p53 binding motif in HUVEC [J]. *The Journal of Steroid Biochemistry and Molecular Biology*, 2019(185): 163-171
- [24] Liu F, Ma X J, Wang Q Z, Zhao Y Y, Wu L N, Qin G J. The effect of FoxO1 on the proliferation of rat mesangial cells under high glucose conditions [J]. *Nephrology Dialysis Transplantation*, 2014, 29(10): 1879-1887
- [25] Han E K, Levenson J D, McGonigal T, Shah O J, Woods K W, Hunter T, Giranda V L, Luo Y. Akt inhibitor A-443654 induces rapid Akt Ser-473 phosphorylation independent of mTORC1 inhibition[J]. *Oncogene*, 2007, 26(38): 5655-5661

责任编辑: 杨爱东